



БИООРГАНИЧЕСКАЯ ХИМИЯ

том 17 * № 4 * 1991

УДК 577.113.5

© 1991 г.

В. Л. Колосов, А. А. Бухаров*, А. С. Золотарев*

ФОТОСИСТЕМА II РЖИ. НУКЛЕОТИДНАЯ ПОСЛЕДОВАТЕЛЬНОСТЬ ГЕНОВ *psbD*, *psbI*, КОДИРУЮЩИХ БЕЛКИ РЕАКЦИОННОГО ЦЕНТРА

Институт фотобиологии АН БССР, Минск;

* *Институт биоорганической химии им. М. М. Шемякина АН СССР, Москва*

Определена структура участков хлоропластной ДНК ржи, содержащих гены *psbD* и *psbI*, которые кодируют соответственно белок D2 и полипептид I — компоненты реакционного центра фотосистемы II. На расстоянии 111 п.о. за стоп-кодоном гена *psbI* на противоположной цепи ДНК расположена ген *trnS(GCU)*, кодирующий тРНК серина. Показана высокая консервативность *Bam*H1-фрагментов ржи и пшеницы, включающих в себя эти гены. Обсуждается функция некоторых консервативных аминокислотных остатков белка D2.

В настоящее время в нескольких лабораториях выделяют минимальный по полипептидному составу препарат, обладающий фотохимической активностью реакционного центра ФС II. Показано, что он состоит из белков D₁, D₂, двух субъединиц цитохрома b₅₅₉ и низкомолекулярного полипептида I [1, 2].

Все полипептиды РЦ ФС II, за исключением полипептида I — продукта гена *psbI*, теряют N-концевой аминокислотный остаток формилметионина [3, 4]. Первый аминокислотный остаток зрелого полипептида D2, продукта гена *psbD*, ацетилируется по аминогруппе и, когда пластохиноловый пул восстановлен, фосфорилируется по гидроксигруппе [4]. Этот белок образует карман (Q_A) для связывания первичного хинонного акцептора электронов. Методом направленного мутагенеза показано, что аминокислотный остаток Тгу¹⁰⁰ белка D2 играет роль окислительно-восстановительной группы, функция которой не определена [5, 6].

Ген *psbD* обычно котранскрибируется с геном *psbC*, и в высших растениях транскрипты этих генов представляют собой набор мРНК разных размеров [7]. При освещении этиолированных проростков сосудистых растений происходит светозависимое изменение пула транскриптов этих генов. Так, у ячменя наряду с четырьмя транскриптами гена *psbD* появляются два добавочных. Образовавшиеся на свету мРНК необходимы для поддержания уровня синтеза продуктов генов *psbD*, *psbC* в зрелых хлоропластах, где уровень продуктов гена фотосинтеза *psbB* уменьшается в то же время в 3—5 раз [8]. Инициация аккумуляции новых транскриптов генов *psbD*, *psbC* контролируется рецепторами голубого света и связана с синтезом de novo продукта ядерной ДНК [9]. Фитохром регулирует амплитуду ответа [9]. Предполагается, что контроль за накоплением мРНК осуществляется на уровне транскрипции или трансляции ядерного гена [9]. На примере *Chlamydomonas reinhardtii* показано также, что ядерные мутации влияют как на синтез и/или деградацию белка D2 [10], так и на стабильность его мРНК [11].

Синтез белка D2 протекает на тилакоидсвязанных рибосомах [12]. В этиолированных проростках белок не обнаружен [13]. Однако было показано, что [³⁵S]метионин включается в белок D2 в этиопластах ячменя

Сокращения: ФС II — фотосистема II, хпДНК — хлоропластная ДНК, ОРС — открытая рамка считывания, РЦ — реакционный центр.

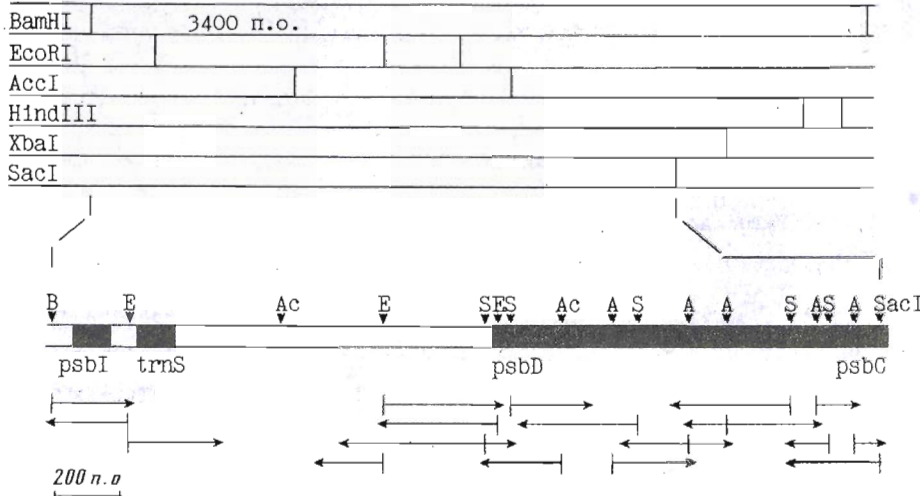


Рис. 1. Рестриктная карта фрагмента B15' хпДНК ржи, содержащего гены *psbI*, *trnS*, *psbD* и *psbC* (зачернены). Стрелками указано направление секвенирования и протяженность нуклеотидных последовательностей. Все гены, за исключением *trnS*, транскрибируются слева направо. Показаны также сайты эндонуклеаз: A — *AluI*, Ac — *AccI*, B — *BamHI*, E — *EcoRI*, S — *Sau3A*.^{*}

(в отличие от белков D1, CP43 и CP47), и это, вероятно, указывает на нестабильность белка D2 в отсутствие других апопротеинов [14]. Кроме того, белок D2, вероятно, контролирует синтез или стабильность белка D1 [15]. Таким образом, трансляция белка D2 в этиопластах, по-видимому, требуется для быстрой активации белка D1 при освещении этиолированных проростков [8].

В предшествующих работах [16—19] нами была определена нуклеотидная последовательность ряда генов хлоропластной ДНК (хпДНК) ржи, кодирующих полипептиды фотосистемы II (ФС II). В настоящей работе установлена нуклеотидная последовательность генов *psbD* и *psbI*, кодирующих 32- и 4,5-кДа полипептиды, а также гена *trnS(GCU)*, кодирующего тРНК^{Ser}.

При определении нуклеотидной последовательности гена *psbD* использовали полученную ранее рекомбинантную плазмиду pTSecB15' [19]. Для поиска гена *psbI* был синтезирован олигонуклеотидный зонд d(GGAGATTGTGTAATGCTTACTCTCAAACCTCTTC), соответствующий 5'-кодирующей области гена *psbI* табака [20]. В результате блот-гибридизационного анализа электрофорограммы хпДНК, обработанной рестриктилизой *BamHI*, была идентифицирована область фрагментов с размерами 3,1—3,4 т. п. о., содержащая ген *psbI*.

Рекомбинантную плазмиду, несущую ген *psbI*, как и ранее, получили методом направленного клонирования фрагментов ДНК [16]. Одна из плазмид была использована для определения структуры гена. При построении рестриктной карты фрагмента, содержащего ген *psbI*, и в результате гибридизационного анализа выяснилось, что ген (либо его часть) содержится в том же фрагменте длиной 3,4 т. п. о., что и ген *psbD*.

На рис. 1 приведена рестриктная карта фрагмента B15', включающего в себя гены *psbI*, *trnS*, *psbD* и 5'-кодирующую область гена *psbC*, и показана стратегия секвенирования генов *psbI* и *psbD*.

Для определения структуры генов *psbD* и *psbI* плазмиду pTSecB15' первоначально разрезали совместно рестриктилизами *EcoRI* и *SacI*. Смесь фрагментов фракционировали электрофорезом в 1,2% агарозном геле. Фрагмент *EcoRI*-900 * и фрагмент *EcoRI/SacI*-1100, включающий в себя ген *psbD*, переносили электрофорезом на мембрану NA-45 с последующей элюцией с нее ДНК.

* Цифра здесь и в аналогичных обозначениях соответствует длине данного фрагмента (п. о.).

psbI →
M L T

```

1 GGATCCGTGTGGTAAGGAAAAACTGGTAATCTATTCCCTTAAAAAAAAAATCTTGGAGATTATGTAATGCTTAC
73 TCTCAAACCTTTGTTTACAGTAGTGTATTCTTGTTCACTCTTATCTTGGATTCTTATCTAATGA
L K L F V Y T V V I F F V S L F I F G F L S N D
T CGGT T T TT
145 CCCAGGACCGGAATCCTGGACGCCAGGAGTAAAATTCACT--TTTTTTTCTTACAATTGGATTGTTTCG
P G R N P G R E E *
G
217 TACATTTATCTATGAAAAAATCCGGGGTCAGAATTCTTCCAATTGAAAGTCCAAATGATCCAAAGGGAG
289 CGGAAAGAGAGGGATTGCAACCCCTCGGTACAAAAAAATTGTCACAACGGATTAGCAATCCGCCCTTAGTCC
← trnS T
361 ACTCAGCCATCTCCACGTTCAAAGCGAAAGCTTCCGTGATATGATAGGCAAGAAATAAGAAATAAC
A T A
433 GTTGCAAAAAACCCC-TTTTTTCTTCAAAGTCTATAAAAATTATATTGCCAATTCCATTAGTTAT
a b
505 ATTCTTTTCTTAATGTTAATAAAAAAGAAGAAAATTCTTGTCTTCTTCTTCAAAATCGATATTGGCC
577 GAGAGACAATCAAATAGATTTCTCTTAGGGCATTTCCATATAGGACTTGTATAATTATA

```

Рис. 2. Нуклеотидная последовательность участка хлДНК ржи, содержащего гены *psbI* и *trnS*. Выше ее приведены нуклеотидные замены в соответствующем участке хлДНК пшеницы. Дефисами обозначены делецитированные нуклеотиды. Ниже нуклеотидной последовательности кодирующей цепи показана соответствующая ей последовательность аминокислот. Подчеркнуты предполагаемый участок связывания рибосом и «повторы» *a* и *b*

Плазмиду pTSecB15' разрезали также другой парой рестриктаз — *Bam*H I и *Eco*R I. Смесь фрагментов и ранее элюированный *Eco*R I-фрагмент клонировали в соответствующие фаговые векторы M13mp18/mp19. Комплементарные цепи одноцепочечной фаговой ДНК идентифицировали, отжигая друг на друга.

Фрагмент *Eco*R I/*Sac*I-1100 гидролизовали рестриктазами *Sau*3A и *Alu*I и полученный набор фрагментов клонировали в соответствующие фаговые векторы. Матрицы для секвенирования отбирались путем Т-теста. На стадии секвенирования гена *psbD* выяснилось, что в отличие от аналогичных генов шпината [21] и табака [22] *Eco*R I-сайт расположен в кодирующей области гена. Для выяснения недостающей 5'-концевой части был получен субфрагмент *Acc*I-800. Гидролиз субфрагмента рестриктазами *Eco*R I и *Sau*3A с последующим переклонированием в фаг M13 позволил также перекрыть истык в последовательности *Eco*R I-сайта.

Ранее был клонирован *Bam*H I-фрагмент хлДНК пшеницы (B15) длиной 3,25 т. п. о., содержащий ген *psbD*, и установлена нуклеотидная последовательность его участка размером 1440 п. о., включающего в себя открытую рамку считывания (OPC36), ген *trnS* и 5'-кодирующую область гена *psbD* [23, 24]. В нашем случае фрагмент ржи имеет размер 3,4 т. п. о. Однако, учитывая высокое сходство электрофорограмм хлДНК обоих злаков, обработанных рестриктазой *Bam*H I [16], и результаты по установлению частичной нуклеотидной последовательности фрагмента из пшеницы [24], мы посчитали необходимым для удобства сохранить его порядковый номер B15' (фрагмент B15 ржи длиной 3,25 т. п. о. содержит ген *psbB* [16]).

На рис. 2 приведена нуклеотидная последовательность участка фрагмента B15', содержащего OPC36, соответствующую гену *psbI*, и ген *trnS*. За геном *psbI* инвертированных повторов не обнаружено. На расстоянии 111 п. о. за стоп-кодоном расположен ген *trnS*(GCU), кодирующий тРНК^{Ser}. Нуклеотидные последовательности генов *trnS* ржи и пшеницы [24] совпадают и имеют пять замен по отношению к соответствующему гену табака [22].

Сравнение нуклеотидных последовательностей генов *psbI* ржи и табака [22] выявило 13 нуклеотидных замен (гомология 88%), из которых 12 приходятся на третью позицию синонимичных кодонов. Нуклеотидные последовательности генов *psbI* ржи и пшеницы идентичны [24]. Особое внимание обращают на себя результаты сравнения нетранслируемых областей обоих злаков. На рис. 2 видна их необычайно высокая консерва-

тивность (гомология 96,8%), вероятно, характерная и для самих пластомов ржи и пшеницы.

Ген *psbI* кодирует полипептид I (4,5 кДа), имеющий вблизи N-конца гидрофобную область, потенциально способную к образованию трансмембранный α -спиральной структуры. Стхиометрическое отношение этого полипептида и остальных компонентов минимального препарата РЦ, близкое к 1, позволило предположить, что этот полипептид является пятой субъединицей комплекса РЦ ФС II [2]. Его C-концевая область обогащена заряженными остатками.

На рис. 3 показана другая, более протяженная рамка, соответствующая гену *psbD*, причем в 3'-кодирующей области гена *psbD* ржи, аналогично другим растениям, начинается новая рамка, соответствующая другому гену РЦ ФС II — *psbC* [19] (на рис. 3 не обозначено). Область перекрывания генов составляет 50 п. о.

Таким образом, нами определена нуклеотидная последовательность генов *psbI-trnS-psbD-psbC-trnS* хлДНК ржи с flankирующими областями, за исключением участка длиной около 200 п. о. между генами *trnS* и *psbD* [19]. Такое взаимное расположение генов характерно и для хлДНК риса, у которой к тому же между генами *psbI* и *psbD* обнаружена открытая рамка считывания — OPC100 [25]. Недавно идентифицирован промотор перед геном *psbD* хлДНК табака, что делает вероятным его наличие в соответствующих областях риса и пшеницы [25]. Другие данные указывают на отсутствие промоторной области между генами *psbI* и *psbD* пшеницы, что предполагает совместную транскрибируемость гена *psbI* с генами *psbD* и *psbC* [3, 24].

На рис. 2 и 3 отмечены короткие последовательности хлДНК ржи («повторы» *a*, *b* и *c*), аналогичные ранее выявленным на хлДНК пшеницы [24]. Ранее анализ концевых последовательностей протяженной инверсии размером 20 т. п. о. выявил повторы, рекомбинация которых способна привести к данной инверсии [26]. Однако указанные во фрагменте B15' повторы последовательности не участвуют в инверсиях пластома пшеницы [24]. Сравнительный анализ 5'-концевых областей гена *psbD* ржи, ячменя и риса выявил у последних делецию размером 42 п. о., приходящуюся на два «повтора» *c* у ржи и пшеницы (рис. 3) [24, 27, 28].

Сравнение нуклеотидных последовательностей гена *psbD* ржи и табака выявляет 95 нуклеотидных замен (гомология 91%), из которых 9 являются значащими. Из 9 нуклеотидных замен в структуре гена ячменя [28] по сравнению с геном ржи только одна в 5'-кодирующей области приводит к консервативной замене Ile на Val (рис. 4).

Первичный продукт трансляции гена *psbD*, как и гена *psbA*, содержит 353 аминокислотных остатка и характеризуется высоким содержанием аминокислотных остатков гидрофобной природы (47%). В настоящее время считается, что белки D1 и D2 подобно своим бактериальным гомологам имеют по пять трансмембранных сегментов (TMC), на концах которых обычно располагаются остатки пролина и глицина (рис. 4).

Проведенное сравнение первичных структур полипептидов D1 [18] и D2 РЦ ФС II показало их относительно высокое сходство (гомология 26%), причем имеются четко выраженные участки большей гомологии (40—60%), которые совпадают с 3-м, 4-м и 5-м трансмембранными тяжами.

Сравнительный анализ аминокислотных последовательностей белков D2 различных видов кислородвыделяющих фотосинтетиков (рис. 4), как и следовало ожидать, обнаруживает их значительную консервативность. Так, по одной замене приходится на 13 остатков Trp, 8 His, по две на 15 остатков Pro и 9 Met, причем большая часть замен приходится на концевые участки белка.

Плодотворным методом изучения белков D1 и D2 явилось сравнение структур их полипептидных цепей со структурами субъединиц L и M бактериального РЦ. Белок D2 является аналогом M-субъединицы. Так, аминокислотные остатки His¹⁹⁸ белков D1 и D2 связывают, вероятно, две молекулы хлорофилла *a*, образующие так называемую специальную пару. Атом легемового железа, функция которого пока не определена, стабили-

1 CTTAGACTTAGACCGCGCAAGACAAGAATTTCGCTATTCAGATTCTCATATTCTGTACTAGATGTTCT
 G —
 73 ATAGGAATAAGAAGAAATCGCAACTCCTTGCCTACACATAAAATTGATTCGAAGGTCATTTTTTT
 145 TTCAGAACCTCTATTTAGTCTTCCACCCATGCAATAGAGAGGGAAATGGAAAAGAAGGGTTACTTTAT
 217 TTTCATTTCCCTAAAGATAGACTTGAAATAGGAGTCTTGAATAATGCTGAATTCAAAGGTTATTT
 GAAA A —
 289 CTTCTATAGTATAA—GAAAAACAATTATTCCTATAGTATAAGAAAACAATAGTAT
 G C G —
 361 AAGAAAACAATCGAACATTATGGATTTACCACGACCTCGATTGTGACTCCATAGATAAAAATAGGA
 C G —
 433 AATTCTCTTCGAGACCATTGAAAAGGGCATTGAACGAGAAAGAAATCGTCCACAGATAATAAAACTAT
 psbD→
 505 CATATGCCCTGGAAAGTGATATGAGGTGCTCGGAAATGGTGAAGTAATTGAATAGGAGGATCACTATGACT
 M T
 577 ATAGCCCTTGGTAGAATTCTAAAGAAGAAAATGATCTATTGATACATGGATGACTGGTTACGAAGGGAC
 I A L G R I P K E E N D L F D T M D D W L R R D
 649 CGTTTCGTTTTGTAGGATGGTCTGGCCTATTGCTCTTCTTGTGCTTATTGCTTTAGGGGTTGGTT
 R F V F V G W S G L L L F P C A Y F A L G G Y F
 721 ACAGGGACAACTTTGTAACCTCTGGTATACCCATGGATTGGCTACTTCTTGTGCTATTGGAAGGTTGTAATTTC
 T G T T F V T S W Y T H G L A S S Y L E G C N F
 793 TTAACCGCAGCACCTCTACCCCTGCCAATAGTTAGCACACTCTTGTGCTACTATGGGGGCCGAAGCA
 L T A A V S T P A N S L A H S L L L W G P E A
 865 CAAGGAGATTTACTCGTGGTGTCAATTAGGGCGTCTATGGACTTTGTAGCTCTCCACGGGGCTTTGCA
 Q G D F T R W C Q L G G L W T F V A L H G A F A
 937 CTAATAGGTTCATGTTACGCCAATTGAACTTGTGCTCGATCTGTCATTGCAATTGGCCCTATAATGCAATCTCA
 L I G F M L R Q F E L A R S V Q L R P Y N A I S
 1009 TTCTCTGGTCCAATTGCTGTTTGTCTGTATTCTTATTCACGGGCAATCTGGTTGGTTCTT
 F S G P I A V F V S V F L I Y P L G Q S G W F F
 1081 GCGCCGAGTTTGGCGTAGCAGCGATATTGATTCATCCTTCTTCAAGGATTTCATAATTGGACGTTG
 A P S F G V A A I F R F I L F F Q G F H N W T L
 1153 AACCCATTTCATATGATGGGAGTTGCCGGAGTATTAGGTGCACTCGCTATGGCTATTCACTGGAGCGACCC
 N P F H M M G V A G V L G A A L L C A I H G A T
 1225 CTAGAAAACACTCTATTGAGGACGGTGATGGTCAAATACCTTCCGTGCTTTAACCCAACTCAAGCTGAA
 V E N T L F E D G D G A N T F R A F N P T Q A E
 1297 GAAACTTATTCAATGGTCACTGCTAACCGCTTGGTCCAAATCTTGTGTTGCTTTCCAATAAACGT
 E T Y S M V T A N R F W S Q I F G V A F S N K R
 1369 TGGTACATTCTTATGCTATTGTACCCGTACCGGTTATGGATGAGTGCTATTGGCTAGTTGGCTTG
 W L H F F M L F V P V T G L W M S A I G V V G L
 1441 GCTCTGAACTTACGTGCCTATGACTTTGTTCCAGGAAATCCGTGCAGCGGAAGATCCTGAATTGAGACT
 A L N L R A Y D F V S Q E I R A A E D P E F E T
 1513 TTCTACACCAAAATATTCTTTAACGAGGGTATTGCGTGCCTGGATGGCAGCTCAGGATCAGCCTCATGAA
 F Y T K N I L L N E G I R A W M A A Q D Q P H E
 1585 AATCTTATTCCTGAGGAGGTCTACCACTGGAAACGCTTTAA
 N L I F P E E V L P R G N A L *

Рис. 3. Нуклеотидная последовательность участка хпДНК ржи, содержащего ген *psbD*. Выше ее приведены нуклеотидные замены в соответствующем участке хпДНК пшеницы. Дефисами обозначены делетированные нуклеотиды. Ниже нуклеотидной последовательности кодирующей цепи показана соответствующая ей последовательность аминокислот. Подчеркнуты предполагаемый участок связывания рибосом и «повтор» *c*

зирован в комплексе РЦ координационными связями с четырьмя остатками гистидина D1²¹⁵, D1²⁷², D2²¹⁵, D2²⁶⁹, а в качестве пятого лиганда может выступать остаток глутаминовой кислоты D2²²⁵. Вероятными кандидатами в связывании пластохинонов Q_A и Q_B выступают аминокислоты Trp²⁵⁴ (D2) и Phe²⁵⁵, Ser²⁶⁴ (D1) [31].

Методами направленного мутагенеза и ЭПР-спектроскопии показано, что абсолютно консервативные остатки Tyr¹⁶⁰ (D2) и Tyr¹⁶¹ (D1), расположенные в области третьих трансмембранных сегментов белков D1 и D2,

1 MTIALGRIPKEENDLFDTMDDWLRRDRFVFGWSGLLIFPCAYFALGCWFTGTTFVTSWYTHGLASSYLE
 2V.....
 3KFT.D....I.....V.....
 4V.KFT.D.K....S.....
 5KFT.DQ....I.....V.....
 6I.KSS..PKG....S.....
 7I.KTYQ.KRTW..DA....Q.....L.....T.....
 8V.-RAPV.RGW..VL....K.....I.F.....FM.....L.....

1 GONFLTAAVSTPANSLAHSLLLLNGPEAQGDFTRWCQLGGLWTFVALHGAFALIGFMLRQFELARSVQLR
 2
 3G.....
 4A.....
 5L.....G.....
 6G.....
 7M.....PV.....A.....G.....I.....N.....
 8A.....V.....S.....DAFG.....F.....NL.....F.I.....P.....G.....IS.L.GI.

1 PYNAISPSGPIAVFVSVPFLIYPLCQSGWFFAPSFGVAAIFRFILFFQGFHNWTLNPFHMMGVAGVLGAAL
 2
 3A.....
 4A.....
 5A.....
 6A.....
 7A.....A.....
 8A.....M.....H.S.....G.....L.....I.....G..

1 LOATHGATVENTLFEDGDGANTFRAFNPTQAETYSMTANRFWSQIFGVAFSNKRWLHFFMLFVPTGL
 2
 3
 4
 5
 6S.....
 7
 8EDS.....E.....I.....L.....

1 WMSAIGVVGLALNLRAYDFVSQEIRAAEDPEPETFYTKNILLNEGIRAWMAAQDQPHENLIFPEEVIPRG
 2
 3L.....
 4L.....
 5L.....T.....
 6
 7FFSIFIIPNHLINGSYFFNKSQKQIVYI 81,6%
 8SV.I.....L.....M.....P.....F.....

1 NAL*
 2 ... 99,7%
 3 ... 97,3%
 4 ... 97,0%
 5 ... 96,6%
 6 ... 94,9%
 8 ... 84,1%

Рис. 4. Сравнение аминокислотных последовательностей продуктов гена *psbD* ржи (1) с последовательностями ячменя [28] (2), табака [22] (3), пшеницы [21] (4), гороха [29] (5), печеночного мха [29] (6), хламидомонады [29] (7), цианобактерии [30] (8). Подчеркнуты предполагаемые трансмембранные сегменты. Указан процент гомологии

выполняют функции окислительно-восстановительных центров D и Z соответственно, последний из которых участвует в переносе электронов от кислородвыделяющего комплекса на фотоокисленный Р680⁺ [5, 6, 32].

В настоящее время считается, что с полипептидными цепями этих двух белковых компонентов РЦФС Ц так или иначе связаны все функциональные группы, обеспечивающие фотохимическое разделение зарядов на мембране.

Авторы выражают благодарность Н. С. Быстрову за синтез олигонуклеотидов.

Экспериментальная часть

Хлоропластную ДНК выделяли как описано ранее [16]. Гидролиз вели эндонуклеазами рестрикции фирм Amersham (Англия), BRL (США), НПО «Фермент» (Вильнюс).

Рестрикционный и гибридизационный анализы проводили согласно работе [18]. Химический синтез олигонуклеотидов проводили фосфоамидным методом на синтезаторе Applied Biosystems (США). Олигонуклеотиды метили по 5'-концу с помощью [γ -³²P]ATP (> 5000 Ки/ммоль, Amersham, Англия) и T4-полинуклеотидкиназы [33].

Для элюции ДНК использовали нитроцеллюлозные фильтры NA45 (Schleicher and Schuell, США). Мембранны вставляли в надрез впереди полосы (фрагмента ДНК) и вели электрофорез до вхождения ДНК. Затем мембранны помещали в пробирку объемом 1,5 мл, заполненную 100—200 мкл элюирующего буфера (10 мМ три-НCl, pH 8,0; 1 М NaCl) и прогревали 20 мин при 55° С. Осаждение ДНК вели равным объемом изопропилового спирта.

Переклонирование субфрагментов в фаговые векторы M13mp18 и M13mp19, наработку одноцепочечной матрицы и определение нуклеотидных последовательностей проводили как описано ранее [16].

СПИСОК ЛИТЕРАТУРЫ

1. Namba O., Satoh K. // Proc. Nat. Acad. Sci. USA. 1987. V. 84. № 1. P. 109—112.
2. Ikeuchi M., Inoue Y. // Plant Cell Physiol. 1988. V. 29. № 7. P. 1233—1239.
3. Webber A. N., Packman L., Chapman D. J., Barber J., Gray J. C. // FEBS Lett. 1989. V. 242. № 2. P. 259—262.
4. Michel H., Hunt D. F., Shabanowitz J., Bennet J. // J. Biol. Chem. 1988. V. 263. № 3. P. 1123—1130.
5. Debus R. J., Barry B. A., Babcock G. T., McIntosh L. // Proc. Nat. Acad. Sci. USA. 1988. V. 85. № 2. P. 427—430.
6. Vermaas W. F. J., Rutherford A. W., Hansson O. // Proc. Nat. Acad. Sci. USA. 1988. V. 85. № 22. P. 8477—8481.
7. Berends T., Gamble P. E., Mullet J. E. // Nucl. Acids Res. 1987. V. 15. № 13. P. 5217—5240.
8. Gamble P. E., Sexton T. B., Mullet J. E. // EMBO J. 1988. V. 7. № 5. P. 1289—1297.
9. Gamble P. E., Mullet J. E. // EMBO J. 1989. V. 8. № 10. P. 2785—2794.
10. Kuchka M. R., Mayfield S. P., Rochaix J.-D. // EMBO J. 1988. V. 7. № 2. P. 319—324.
11. Kuchka M. R., Goldschmidt-Clermont M., van Dillewijn J., Rochaix J.-D. // Cell. 1989. V. 58. № 5. P. 869—876.
12. Herrin D., Michaels A., Hickey E. // Biochim. et biophys. acta. 1981. V. 655. № 2. P. 136—145.
13. Gamble P. E., Mullet J. E. // J. Cell Chem. 1989. V. 264. № 13. P. 7236—7243.
14. Klein R. R., Mullet J. E. // J. Biol. Chem. 1987. V. 262. № 9. P. 4341—4348.
15. Rochaix J.-D., Erickson J. // TIBS. 1988. V. 13. № 2. P. 56—59.
16. Бухаров А. А., Колесов В. Л., Золотарев А. С., Абдулаев Н. Г. // Биоорган. химия. 1989. Т. 15. № 7. С. 927—939.
17. Колесов В. Л., Клещовиц О. Н., Абдулаев Н. Г., Золотарев А. С. // Биоорган. химия. 1989. Т. 15. № 9. С. 1284—1286.
18. Колесов В. Л., Золотарев А. С. // Биоорган. химия. 1990. Т. 16. № 8. С. 1060—1068.
19. Бухаров А. А., Колесов В. Л., Золотарев А. С. // Биоорган. химия. 1990. Т. 16. № 9. С. 1210—1217.
20. Ikeuchi M., Inoue Y. // FEBS Lett. 1988. V. 241. № 1/2. P. 99—104.
21. Alt J., Morris J., Westhoff P., Herrmann R. // Curr. Genet. 1984. V. 8. № 8. P. 597—606.
22. Shinozaki K., Ohme M., Tanaka M., Wakasugi T., Hayashida N., Matsubayashi T., Zaita N., Chunwongse J., Obokata J., Yamaguchi-Shinozaki K., Okto C., Torazawa K., Meng B. Y., Sugiura M., Deno H., Kamogashira T., Yamada K., Kusuda J., Takaiwa F., Kato A., Tohdo N., Shidama H., Sugiura M. // EMBO J. 1986. V. 5. № 9. P. 2043—2049.
23. Courtice G. R. M., Bowman C. M., Dyer T. A., Gray J. C. // Curr. Genet. 1985. V. 10. № 4. P. 329—333.
24. Howe C. J., Barker R. F., Bowman C. M., Dyer T. A. // Curr. Genet. 1988. V. 13. № 4. P. 343—349.
25. Hiratsuka J., Shimada H., Whittier R., Ishibashi T., Sacamoto M., Mori M., Kon-do C., Honji Y., Sun C.-R., Meng B.-Y., Li Y.-O., Kanno A., Nishizawa Y., Hirai A., Shinozaki K., Sugiura M. // Mol. Gen. Genet. 1989. V. 217. № 2/3. P. 185—194.
26. Howe C. J., Dyer T. A., Gray J. C. // EMBO J. 1985. V. 4. № 6. P. 1381—1388.
27. Shimada H., Sugiura M. // Curr. Genet. 1989. V. 16. № 4. P. 293—301.
28. Ефимов В. А., Андреева А. В., Ревердамто С. В., Чахмажчева О. Г. // Биоорган. химия. 1988. Т. 14. № 11. С. 1573—1576.
29. Umesono K., Inokuchi H., Shiki Y., Takeuchi M., Chang Z., Fukuzawa H., Kohchi T., Shirai H., Ohyama K., Ozeki H. // J. Mol. Biol. 1988. V. 203. № 2. P. 299—331.

30. Williams J. G., Chisholm D. A. // Progress in photos. res. V. 4 / Ed. Biggins J. Dordrecht: Martinus Nijhoff Publ., 1987. P. 809—812.
31. Michel H., Deisenhofer J. // Biochemistry. 1988. V. 27. № 1. P. 1—7.
32. Debus R. J., Barry B. A., Sithole I., Babcock G. T., McIntosh L. // Biochemistry. 1988. V. 27. № 26. P. 9071—9074.
33. Маниамис Т., Фрич Э., Сэмбрук Дж. Методы генетической инженерии: молекулярное клонирование. М.: Мир, 1984.

Поступила в редакцию
13.III.1990

V. L. KOLOSOV, A. A. BUKHAROV *, A. S. ZOLOTAREV *

RYE PHOTOSYSTEM II: NUCLEOTIDE SEQUENCE OF *psbD*, *psbI*
GENES CODING FOR POLYPEPTIDES OF THE REACTION CENTRE

Institute of Photobiology, Academy of Sciences of the Byelorussian SSR, Minsk;
* M. M. Shemyakin Institute of Bioorganic Chemistry,
Academy of Sciences of the USSR, Moscow

Structures of the rye chloroplast DNA regions, containing *psbD* and *psbI* genes coding for the components of the reaction centre of photosystem II, D2 protein and I polypeptide, respectively, have been determined. The gene *trnS* for tRNA^{Ser} (GCU) is located 111 bp downstream from the stop codon of the *psbI* gene on the opposite strand. The high homology between the rye *Bam*HI-fragment comprising these genes and his counterpart from wheat are discussed.]